

# **ТЕОРЕТИЧЕСКИЕ ОСНОВЫ ЭЛЕКТРОТЕХНИКИ**

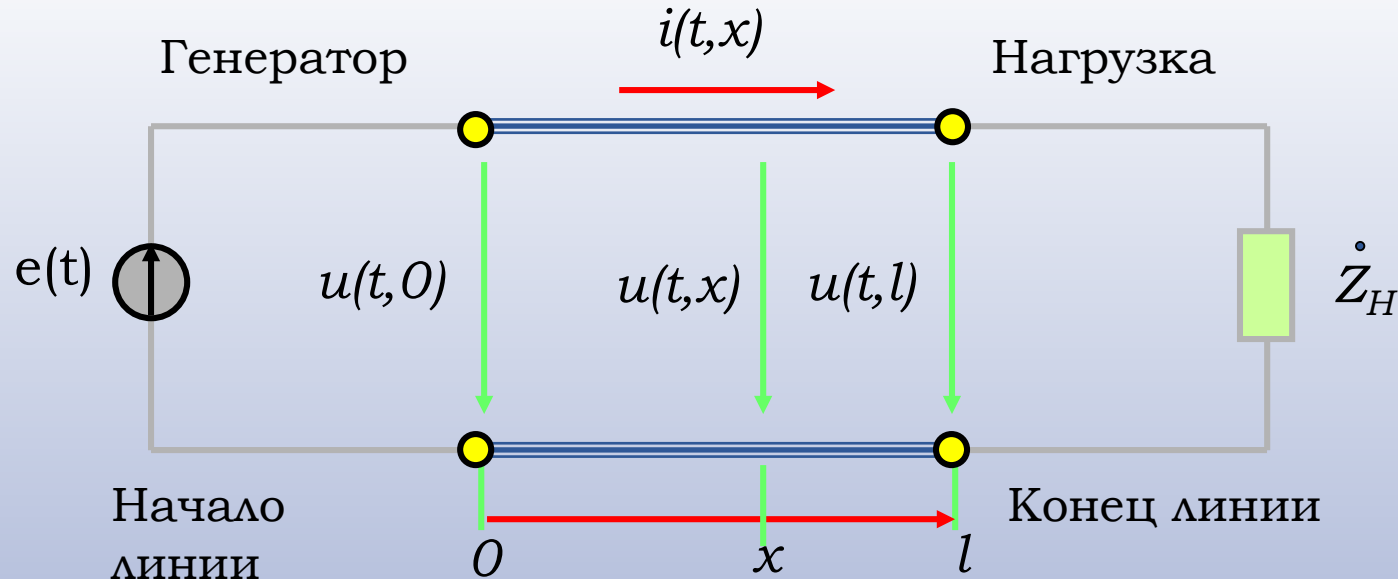
*Лектор:*

*к.ф.-м.н., асс.профессор Алимгазинова Назгуль Шакаримовна*

# 10 лекция. Цепи с распределенными параметрами

## Основные понятия

Цепи с распределенными параметрами играют важную роль в современной электросвязи и радиотехнике. Например: при передаче электромагнитной энергии в линиях связи, фидере, антенне, волноводе следует учитывать, что магнитное и электрическое поля распределены по всей длине этих устройств и превращение электромагнитной энергии в тепло также происходит по всей длине этих устройств.



$u(t, 0)$  - мгновенное значение напряжения в начале линии

$u(t, x)$  - мгновенное значение напряжения в точке с координатой  $x$

$u(t, l)$  - мгновенное значение напряжения в конце линии

Под **генератором  $e(t)$**  будем понимать источник сигналов, микрофон, усилитель, выходной каскад передатчика.

В качестве **комплексной нагрузки  $Z_H$**  может быть телефон, антенна.

Ток и напряжение на выходе в конце сколь угодно малого участка (отрезка) цепи с **распределенными параметрами** не равны соответственно току и напряжению на его входе и отличаются как по величине, так и по фазе.

Ток и напряжение в любой точке цепи являются не только функциями времени  $t$ , но и пространственных координат (например –  $x$  – расстояние от одного из концов линии).

Цепи с **распределенными параметрами** характеризуются проходящими в них волновыми процессами. Поэтому напряжения и токи изменяются не только во времени, но и в пространстве:  $u(t, x)$ ;  $i(t, x)$

$$u(t, x) = u(t + T, x)$$

$T$  – период



$$u(t_0, x) = u(t_0, x + \lambda)$$

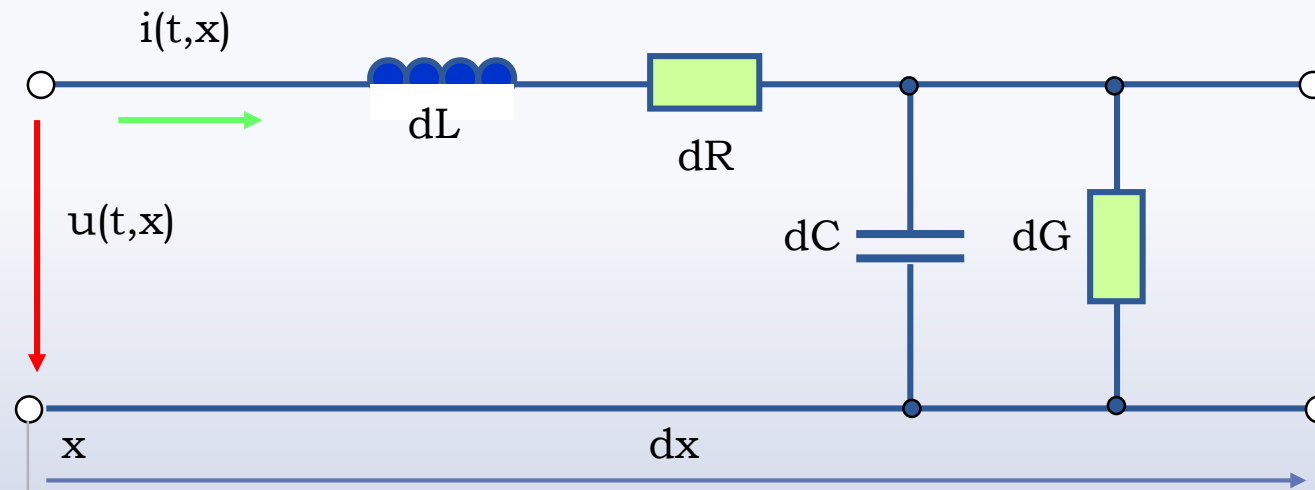
$\lambda$  – длина  $\rightarrow$  волны

В любой точке с координатой  $x$

В любой фиксированный момент времени  $t_0$

Длинными линиями называются линии, геометрическая длина  $l$  которых больше длины волны  $\lambda$  в 10 раз:  $l > 10\lambda$ .

Рассматривая цепь переменного тока, образованную двумя параллельными проводниками большой протяженности, любой бесконечно малый участок этой длинной линии **dx** можно представить в виде эквивалентной схемы, состоящей из сосредоточенных бесконечно малых отрезков **dL,dR,dC,dG**



- **dL** – характеризует результирующую индуктивность верхнего и нижнего проводов;
- **dR** – характеризует результирующее сопротивление потерь в проводах;
- **dC** – характеризует величину емкости между проводами;
- **dG** – характеризует проводимость утечки между проводами;

Эквивалентная схема всей линии конечной длины содержит бесконечное множество аналогичных звеньев, соединенных последовательно.

## Первичные параметры длиной линии

В практических целях вместо бесконечно малых величин  $dL, dR, dC, dG$  удобнее использовать так называемые первичные параметры (погонные) параметры линии, рассчитанные на единицу длины.

$$R_0 = \frac{dR}{dx}$$



погонное сопротивление, Ом/м

$$L_0 = \frac{dL}{dx}$$



погонная индуктивность, Гн/м

$$C_0 = \frac{dC}{dx}$$



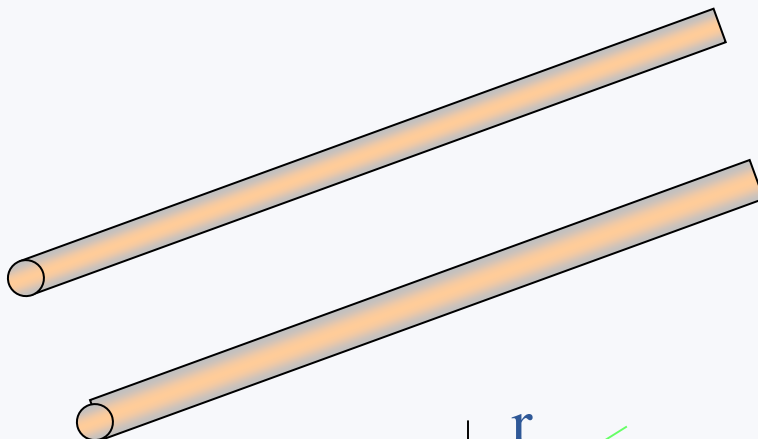
погонная емкость, Ф/м

$$G_0 = \frac{dG}{dx}$$

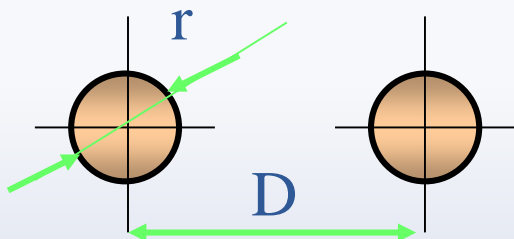


погонная проводимость, См/м

*Однородной длиной линией называется такая линия, первичные параметры которой неизменны (постоянны) по всей ее длине.*



Открытая медная двухпроводная линия для радио частот образована двумя параллельными цилиндрическими проводниками на расстоянии  $D$  между осями и с радиусами  $r$ .



$$R_0 = \frac{8,33 \cdot 10^{-3}}{r} \sqrt{f} \rightarrow [Om/m]$$

$$G_0 = 0,01 \cdot 10^{-6} + 0,05 \cdot 10^{-9} \cdot f \rightarrow [Cm/m]$$

$$C_0 = 1,05 \frac{10^{-6}}{36 \ln(D/r)} \rightarrow [\Phi/m]$$

$$L_0 = 4 \cdot 10^{-4} \ln \frac{D}{r} \rightarrow [\Gamma_H/m]$$

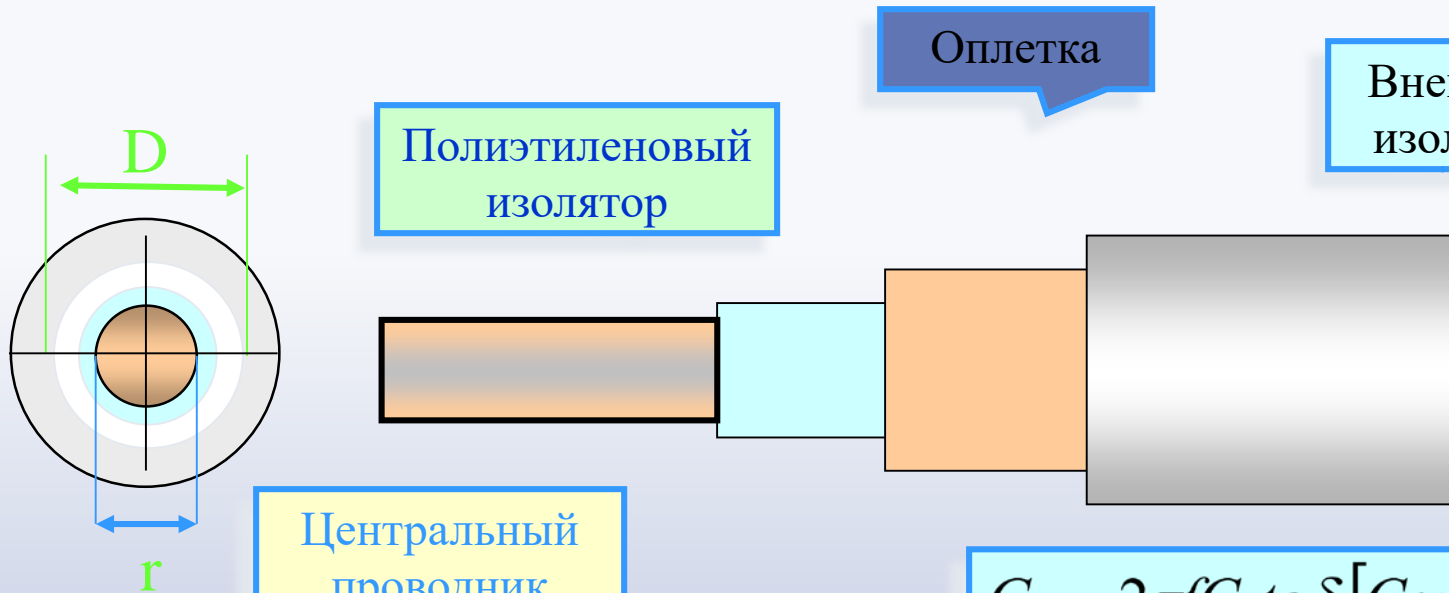
$$Z_B = \frac{276}{\sqrt{\epsilon_r}} \ln \left( \frac{D-r}{r} \right) \rightarrow [Om]$$

$Z_B$  - волновое сопротивление линии, Ом;

$D$  – расстояние между медными проводниками линии, мм;

$\epsilon_r$  – относительная диэлектрическая проницаемость;  $r$  – радиус проводов, мм;

Коаксиальная линия для радио частот, состоящая из сплошного внутреннего проводника диаметром  $d$  и внешнего экрана с внутренним диаметром  $D$ , пространство между проводниками заполнено диэлектриком.



$$R_0 = 8,33\sqrt{f} \left( \frac{1}{d} + \frac{1}{D} \right) \rightarrow [O\mu\text{m}/\text{m}]$$

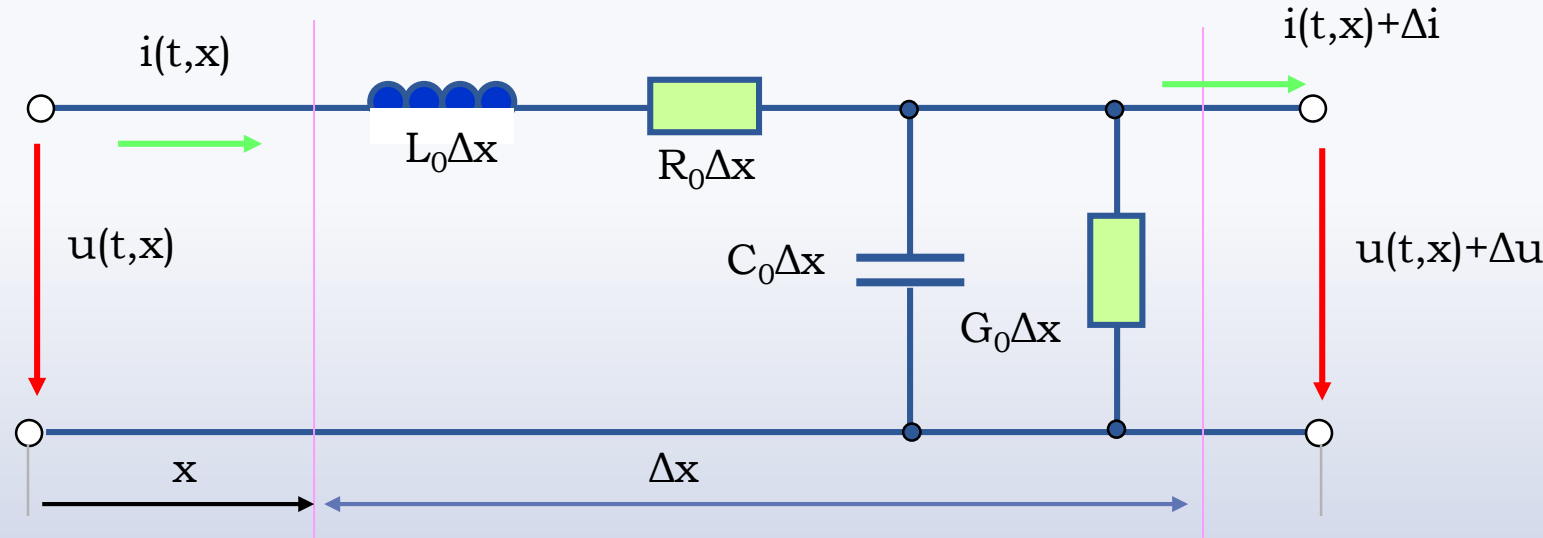
$$L_0 = 2 \cdot 10^{-4} \ln \frac{D}{d} \rightarrow [\Gamma\mu\text{m}/\text{m}]$$

$$C_0 = \frac{\epsilon_r \cdot 10^{-4}}{18 \ln(D/d)} \rightarrow [\Phi/\mu\text{m}]$$

$$Z_B = \frac{60}{\sqrt{\epsilon_r}} \ln\left(\frac{D}{d}\right) \rightarrow [O\mu\text{m}]$$

# Телеграфные уравнения и их общее решение для режима гармонических колебаний

Рассмотрим элементарный участок линии длиной  $\Delta x$ , находящийся на расстоянии  $x$  от начала линии

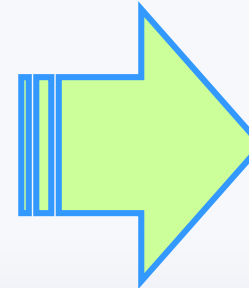


**Уменьшение напряжения** в конце участка линии  $\Delta x$  по сравнению с его началом **вызвано падением напряжения на индуктивности**  $L_0\Delta x$  и **сопротивлении**  $R_0\Delta x$ , а уменьшение тока происходит за счет **ответвления тока** через **емкость**  $C_0\Delta x$  и **проводимость изоляции**  $G_0\Delta x$

$$\begin{cases} -\Delta u = L_0\Delta x \cdot \frac{\partial i}{\partial t} + R_0\Delta x \cdot i \\ -\Delta i = C_0\Delta x \cdot \frac{\partial u}{\partial t} + G_0\Delta x \cdot u \end{cases}$$

Разделив обе части этих уравнений на  **$\Delta x$  и перейдя к пределу при  $\Delta x \rightarrow 0$** , получим дифференциальные уравнения линии

$$\begin{cases} -\frac{\partial u}{\partial t} = L_0 \frac{\partial i}{\partial t} + R_0 \cdot i \\ -\frac{\partial i}{\partial t} = C_0 \frac{\partial u}{\partial t} + G_0 \cdot u \end{cases}$$



Телеграфные  
уравнения

Найдем законы изменения амплитуд и фаз напряжений и токов в линии для режима установившихся гармонических колебаний (считая известным закон изменения токов и напряжений в линии)

Используя символический метод анализа гармонических колебаний:

$$u \Rightarrow \dot{U}$$

$$i \Rightarrow \dot{I}$$

$$\frac{du}{dt} \Rightarrow j\omega \dot{U}$$

$$\frac{di}{dt} \Rightarrow j\omega \dot{I}$$

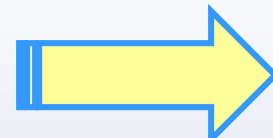
$$\begin{cases} -\frac{d\dot{U}}{dx} = (R_0 + j\omega L_0) \cdot \dot{I} \\ -\frac{d\dot{I}}{dx} = (G_0 + j\omega C_0) \cdot \dot{U} \end{cases}$$

Так как комплексные значения  $U$  и  $I$  являются функциями только  $x$ , то уравнения записываются не в частных, а в полных производных

Продифференцировав первое уравнение системы по  $x$  и подставив в него второе, получим

$$\frac{d^2 \dot{U}}{dx^2} = (R_0 + j\omega L_0) \cdot (G_0 + j\omega C_0) \cdot \dot{U}$$

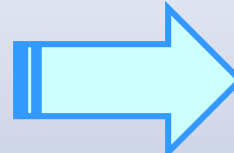
Введя в рассмотрение обозначение



$$\dot{\gamma} = \sqrt{(R_0 + j\omega L_0) \cdot (G_0 + j\omega C_0)}$$

**Коэффициент распространения в линии**

$$\frac{d^2 \dot{U}}{dx^2} - \dot{\gamma}^2 \cdot \dot{U} = 0$$



Уравнение Гельмгольца  
(волновое уравнение)

$$\dot{\gamma} = \sqrt{\dot{Z}_0 \dot{Y}_0} = \sqrt{(R_0 + j\omega L_0)(G_0 + j\omega C_0)} = \alpha + j\beta = \gamma \cdot e^{j\phi};$$
$$\gamma = \sqrt{\alpha^2 + \beta^2}$$

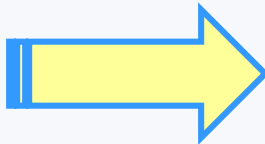
**α -коэффициент ослабления, т.е. величина потерь в линии:  $\alpha = \gamma \cos(\phi)$**

**β -коэффициент фазы, т.е. величина фазового сдвига в линии:  $\beta = \gamma \sin(\phi)$**



## Решение телеграфных уравнений

$$\frac{d^2 \dot{U}}{dx^2} - \gamma^2 \cdot \dot{U} = 0$$



Корни характеристического уравнения

$$p^2 - \gamma^2 = 0 \rightarrow p_{1,2} = \pm \gamma$$

Общее решение этого дифференциального уравнения для напряжения в точке  $x$  запишется в виде:

$$\dot{U}(x) = \dot{A} \cdot e^{-\gamma x} + \dot{B} \cdot e^{\gamma x}$$

Из первого уравнения системы выразим ток

$$\dot{I} = -\frac{1}{R_0 + j\omega L_0} \cdot \frac{d \dot{U}}{dx} = -\frac{\gamma}{R_0 + j\omega L_0} (\dot{A} \cdot e^{-\gamma x} - \dot{B} \cdot e^{\gamma x})$$

$$\frac{R_0}{G_0} = \frac{L_0}{C_0}$$

$$\dot{Z}_B = \sqrt{\frac{R_0 + j\omega L_0}{G_0 + j\omega C_0}}$$



Волновое  
сопротивление линии

Условие  
Хевисайда

$$\dot{I}(x) = \frac{1}{\dot{Z}_B} (\dot{A} \cdot e^{-\gamma x} - \dot{B} \cdot e^{\gamma x})$$

Общее решение для тока

$$\dot{U}(x) = \dot{A} \cdot e^{-\gamma x} + \dot{B} \cdot e^{\gamma x}$$

С учетом начальных условий при  $x = 0$ :

$$\dot{I}(x) = \frac{1}{Z_B} (\dot{A} \cdot e^{-\gamma x} - \dot{B} \cdot e^{\gamma x})$$

$$\dot{U}_x = \dot{U}(x = 0) = \dot{U}_1$$

$$\dot{I}_x = \dot{I}(x = 0) = \dot{I}_1$$

Искомая система уравнений преобразуется к виду:

$$\begin{cases} \dot{U}_1 = \dot{A} + \dot{B} \\ \dot{I}_1 \cdot Z_B = \dot{A} - \dot{B} \end{cases}$$

Решение

$$\begin{aligned} \dot{A} &= \frac{\dot{U}_1 + \dot{I}_1 \cdot Z_B}{2} \\ \dot{B} &= \frac{\dot{U}_1 - \dot{I}_1 \cdot Z_B}{2} \end{aligned}$$

$$\begin{aligned} \dot{U}_x &= \frac{\dot{U}_1 + \dot{I}_1 \cdot Z_B}{2} e^{-\gamma x} + \frac{\dot{U}_1 - \dot{I}_1 \cdot Z_B}{2} e^{\gamma x} \\ \dot{I}_x &= \frac{\dot{U}_1 + \dot{I}_1 \cdot Z_B}{2 Z_B} e^{-\gamma x} - \frac{\dot{U}_1 - \dot{I}_1 \cdot Z_B}{2 Z_B} e^{\gamma x} \end{aligned}$$

Уравнения передачи однородной длинной линии

□ Падающие и отраженные волны в длинных линиях

$$\dot{U}_x = \underbrace{\frac{\dot{U}_1 + \dot{I}_1 \cdot \dot{Z}_B}{2}}_{2} e^{-\gamma x} + \underbrace{\frac{\dot{U}_1 - \dot{I}_1 \cdot \dot{Z}_B}{2}}_{2} e^{\gamma x}$$

$$\dot{I}_x = \frac{\dot{U}_1 + \dot{I}_1 \cdot \dot{Z}_B}{2 \dot{Z}_B} e^{-\gamma x} - \frac{\dot{U}_1 - \dot{I}_1 \cdot \dot{Z}_B}{2 \dot{Z}_B} e^{\gamma x}$$

$$\dot{A} = \frac{\dot{U}_1 + \dot{I}_1 \cdot \dot{Z}_B}{2} = \dot{U}_P(x)$$

$$\dot{B} = \frac{\dot{U}_1 - \dot{I}_1 \cdot \dot{Z}_B}{2} = \dot{U}_O(x)$$

С учетом таких обозначений запись уравнений передачи линии упростится

$$\dot{U}_x = \dot{U}_P(x) \cdot e^{-\gamma x} + \dot{U}_O(x) \cdot e^{\gamma x} = \dot{U}_{PAD}(x) + \dot{U}_{OTP}(x)$$

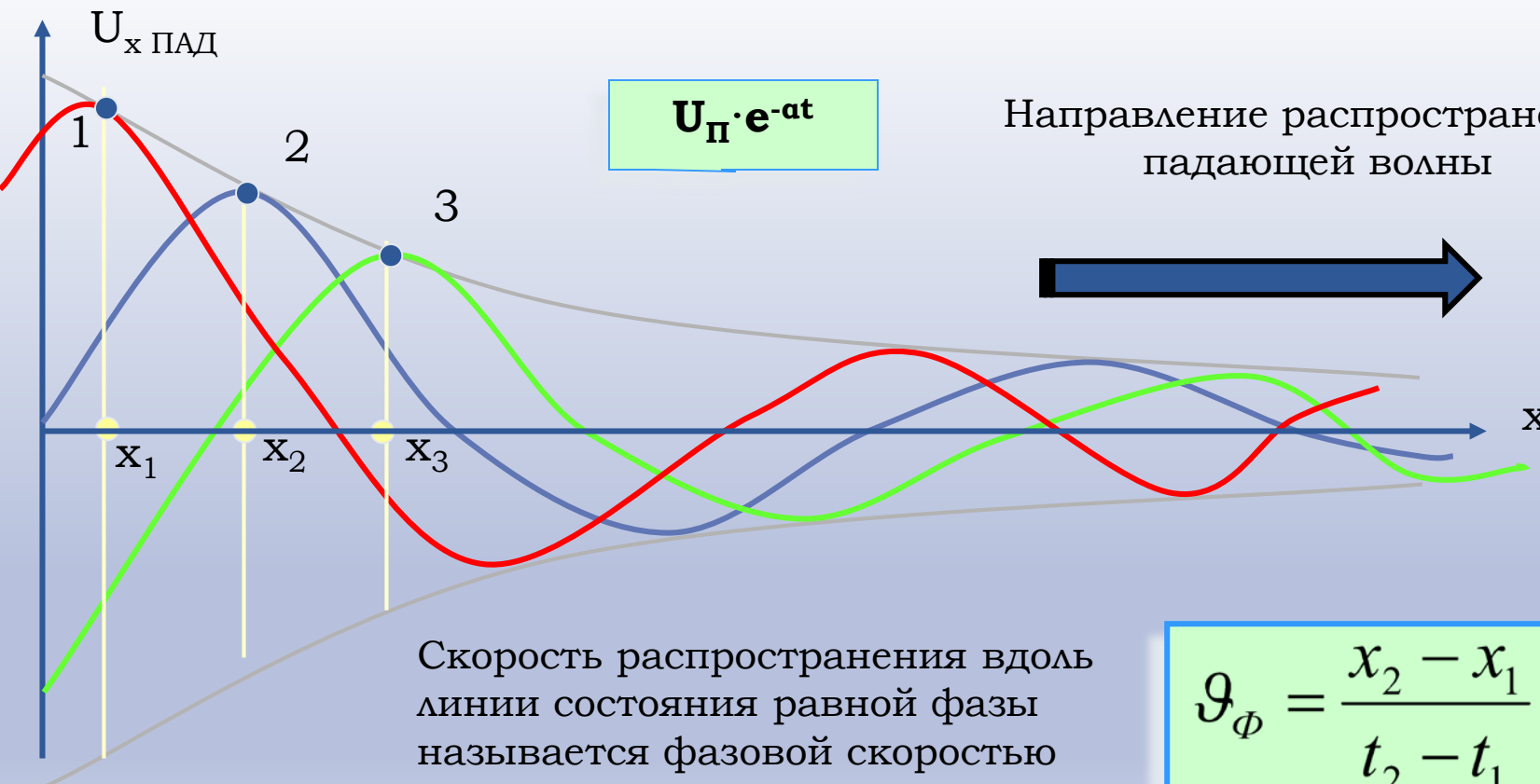
$$\dot{I}_x = \frac{\dot{U}_P(x)}{\dot{Z}_B} \cdot e^{-\gamma x} - \frac{\dot{U}_O(x)}{\dot{Z}_B} \cdot e^{\gamma x} = \dot{I}_{PAD}(x) + \dot{I}_{OTP}(x)$$

Напряжение и ток состоят из сумм двух слагаемых. Первые уменьшаются с увеличением расстояния от начала линии  $x$ , а вторые возрастают. В линии существуют два типа волн: падающие и отраженные волны.

Уравнения передачи для мгновенных значений напряжений и токов

$$U_x(t) = U_{\Pi} \cdot e^{-\alpha t} \sin(\omega t - \beta x) + U_O \cdot e^{\alpha t} \sin(\omega t + \beta x)$$

$$I_x(t) = \frac{U_{\Pi}}{Z_B} \cdot e^{-\alpha t} \sin(\omega t - \beta x - \varphi_B) - \frac{U_O}{Z_B} \cdot e^{\alpha t} \sin(\omega t + \beta x - \varphi_B)$$



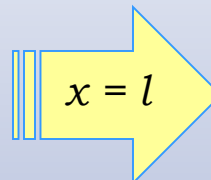
$$U_x(t) = U_{\Pi} \cdot e^{-\alpha t} \sin(\omega t - \beta x) + \underline{U_O \cdot e^{\alpha t} \sin(\omega t + \beta x)}$$

$$I_x(t) = \frac{U_{\Pi}}{Z_B} \cdot e^{-\alpha t} \sin(\omega t - \beta x - \varphi_B) - \underline{\frac{U_O}{Z_B} \cdot e^{\alpha t} \sin(\omega t + \beta x - \varphi_B)}$$

Эти слагаемые описывают волны точно такого же характера, как и падающие, но распространяющиеся в обратном направлении, т.е. от конца линии к началу. Такие волны называются отраженными волнами напряжения и тока. Амплитуды отраженных волн убывают от конца линии к началу. Наибольшая амплитуда отраженных волн наблюдается в конце линии.

$$\dot{U}(x) = \dot{U}_{\text{ПАД}}(x) + \dot{U}_{\text{ОТР}}(x)$$

$$\dot{I}(x) = \dot{I}_{\text{ПАД}}(x) + \dot{I}_{\text{ОТР}}(x)$$



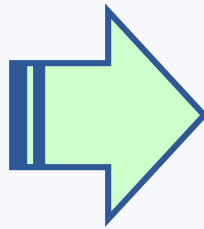
$$\dot{U}(l) = \dot{U}_2 = \dot{U}_{2\text{ПАД}} + \dot{U}_{2\text{ОТР}}$$

$$\dot{I}(l) = \dot{I}_2 = \dot{I}_{2\text{ПАД}} + \dot{I}_{2\text{ОТР}}$$

$$\dot{U}_2 = \dot{I}_2 \cdot \dot{Z}_H = \dot{U}_{2\text{ПАД}} + \dot{U}_{2\text{ОТР}}$$

$$\dot{I}_2 \cdot \dot{Z}_B = \dot{U}_{2\text{ПАД}} - \dot{U}_{2\text{ОТР}}$$

Решения этой системы  
уравнений



$$\dot{U}_{2ПАД} = \dot{I}_2 \cdot \frac{\dot{Z}_H + \dot{Z}_B}{2}$$
$$\dot{U}_{2OTP} = \dot{I}_2 \cdot \frac{\dot{Z}_H - \dot{Z}_B}{2}$$

Отношение комплексной амплитуды отраженной волны к комплексной амплитуде падающей волны называется *коэффициентом отражения по напряжению*

$$\sigma_U = \frac{\dot{U}_{2OTP}}{\dot{U}_{2ПАД}} = \frac{\dot{Z}_H - \dot{Z}_B}{\dot{Z}_H + \dot{Z}_B}; \rightarrow \dot{U}_{2OTP} = \sigma_U \cdot \dot{U}_{2ПАД}$$

*Коэффициент отражения по напряжению показывает, какую часть амплитуды падающей волны в конце линии составляет амплитуда отраженной волны*

## Амплитуда отраженной волны тока в линии

$$\dot{I}_{2OTP} = -\frac{\dot{U}_{2OTP}}{\dot{Z}_B} = -\sigma_U \frac{\dot{U}_{2ПАД}}{\dot{Z}_B} = -\sigma_U \cdot \dot{I}_{2OTP};$$
$$\rightarrow \dot{I}_{2OTP} = \sigma_I \cdot \dot{I}_{2ПАД}$$

$$\bullet \quad \bullet \\ \sigma_I = -\sigma_U$$

Коэффициент отражения по току равен по значению и противоположен по знаку коэффициенту отражения по напряжению

Короткозамкнутая линия на конце  $\rightarrow Z_H = 0$

$$\bullet \\ \sigma_U = -1$$

Падающая и отраженная волны напряжения в конце линии имеют равные амплитуды и сдвинуты по фазе по отношению друг другу на  $180^\circ$ . Амплитуда результирующей волны напряжения в конце линии будет равна нулю. В тоже время падающая и отраженная волны тока будут иметь равные амплитуды, что приведет к **увеличению вдвое тока в конце короткозамкнутой линии**

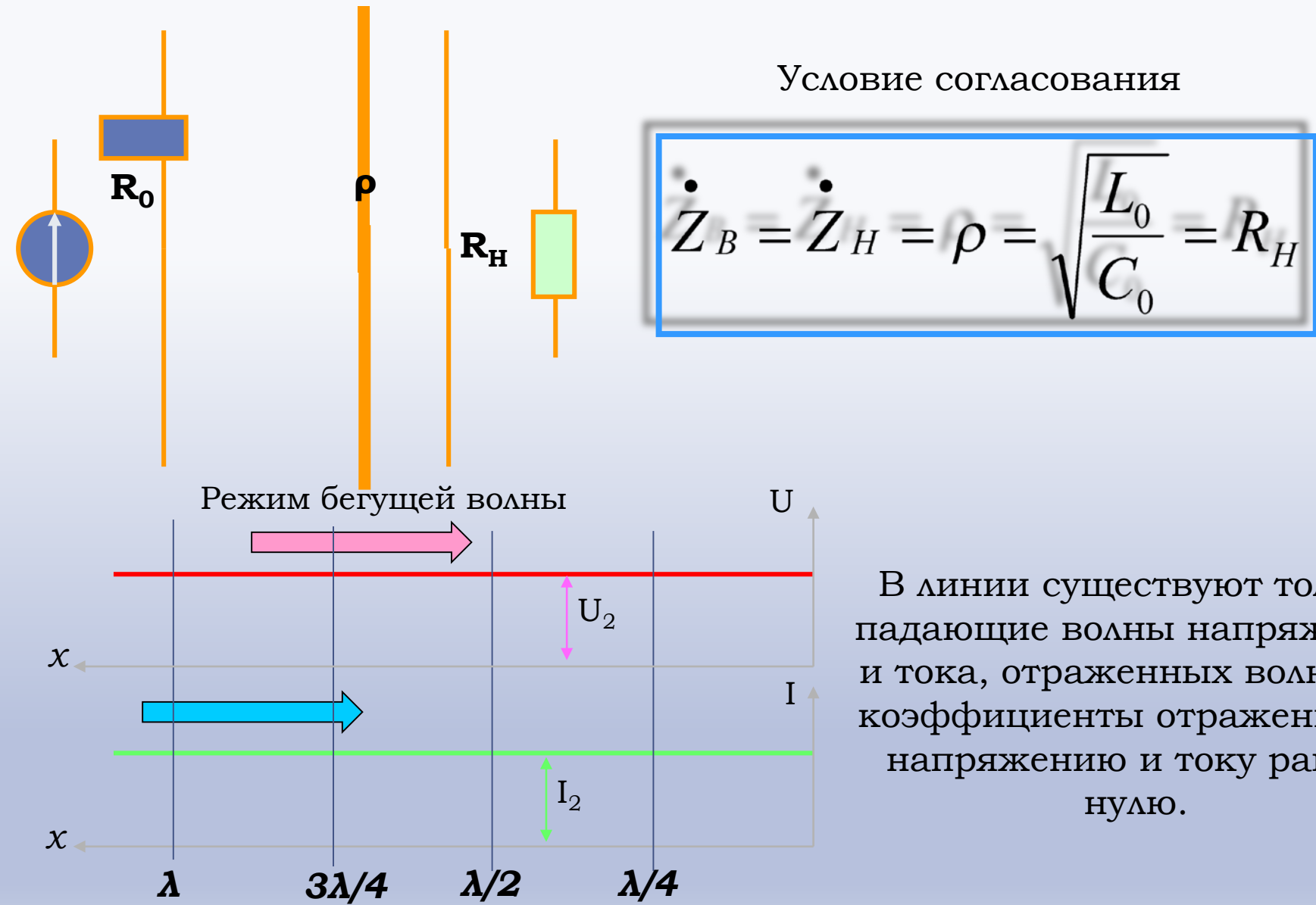
$$\bullet \\ \sigma_I = 1$$

Холостой ход в конце линии  $\rightarrow Z_H = \infty$  ( $\sigma_U = 1$ ,  $\sigma_I = -1$ ) – «противоположное»

# Режимы работы длинной линии



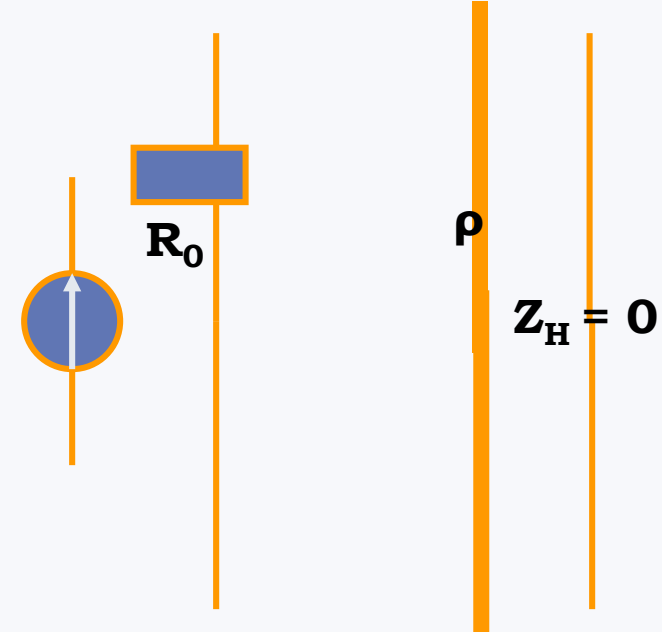
## Режим работы длинной линии на согласованную нагрузку



В линии существуют только падающие волны напряжения и тока, отраженных волн нет, коэффициенты отражения по напряжению и току равны нулю.

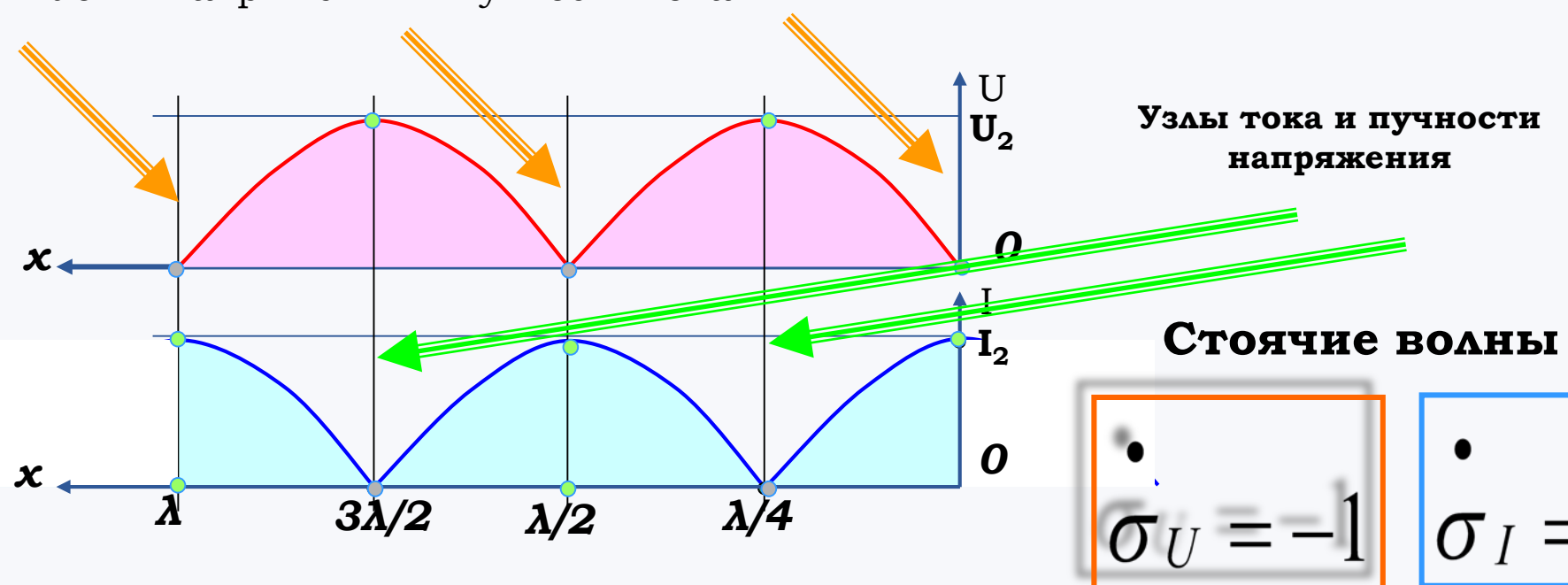


## Режим работы короткозамкнутой на конце длинной линии



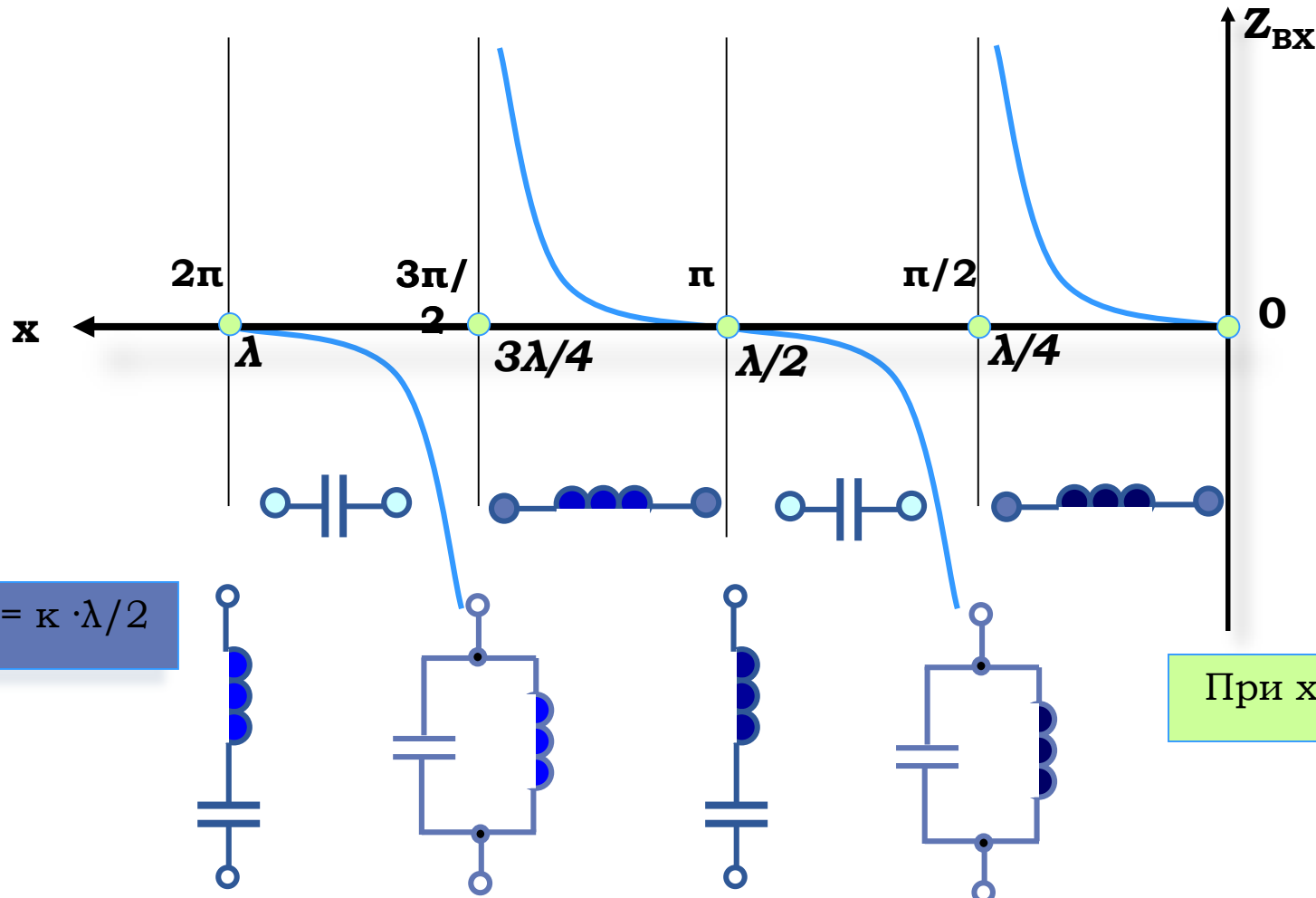
Узлы напряжения и пучности тока

- Нагрузка линии энергии не потребляет.
- От нее в сторону начала линии распространяются обратные волны напряжения и тока.
- Их амплитуды равны соответственно амплитудам прямых волн напряжения и тока.



В режиме короткого замыкания входное сопротивление линии принимает вид

$$\dot{Z}_{BX} = \dot{Z}_{BXK3} = jZ_{BX} \operatorname{tg}(\beta x) = jZ_{BX} \operatorname{tg}\left(\frac{2\pi}{\lambda} x\right) = jX_{K3}$$





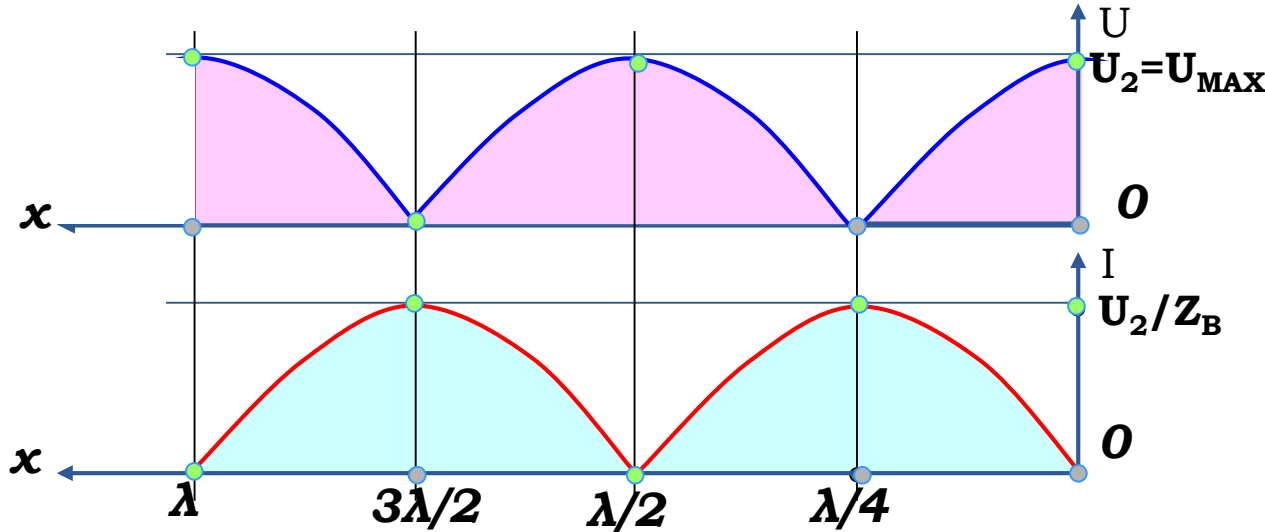
## Режим холостого хода, линия разомкнута на конце $Z_H = \infty$

В режиме короткого замыкания  $I_2 = 0$ , так как  $Z_H = \infty$ , и уравнения передачи

$$\dot{U}(x) = \dot{U}_2 \cos \frac{2\pi}{\lambda} x = \dot{U}_2 \left| \cos \frac{2\pi}{\lambda} x \right| \cdot e^{j\varphi_U} = \dot{U} \cdot e^{j\varphi_U}$$

$$\dot{I} = j \frac{\dot{U}_2}{Z_B} \sin \frac{2\pi}{\lambda} x = \frac{\dot{U}_2}{Z_B} \left| \sin \frac{2\pi}{\lambda} x \right| \cdot e^{j(\varphi_I + \pi/2)} = \dot{I} \cdot e^{j(\varphi_I + \pi/2)}$$

### Режим стоячих волн



### Узлы тока и пучности напряжения

$$\frac{2\pi \cdot x}{\lambda} = 0, \pi, 2\pi$$

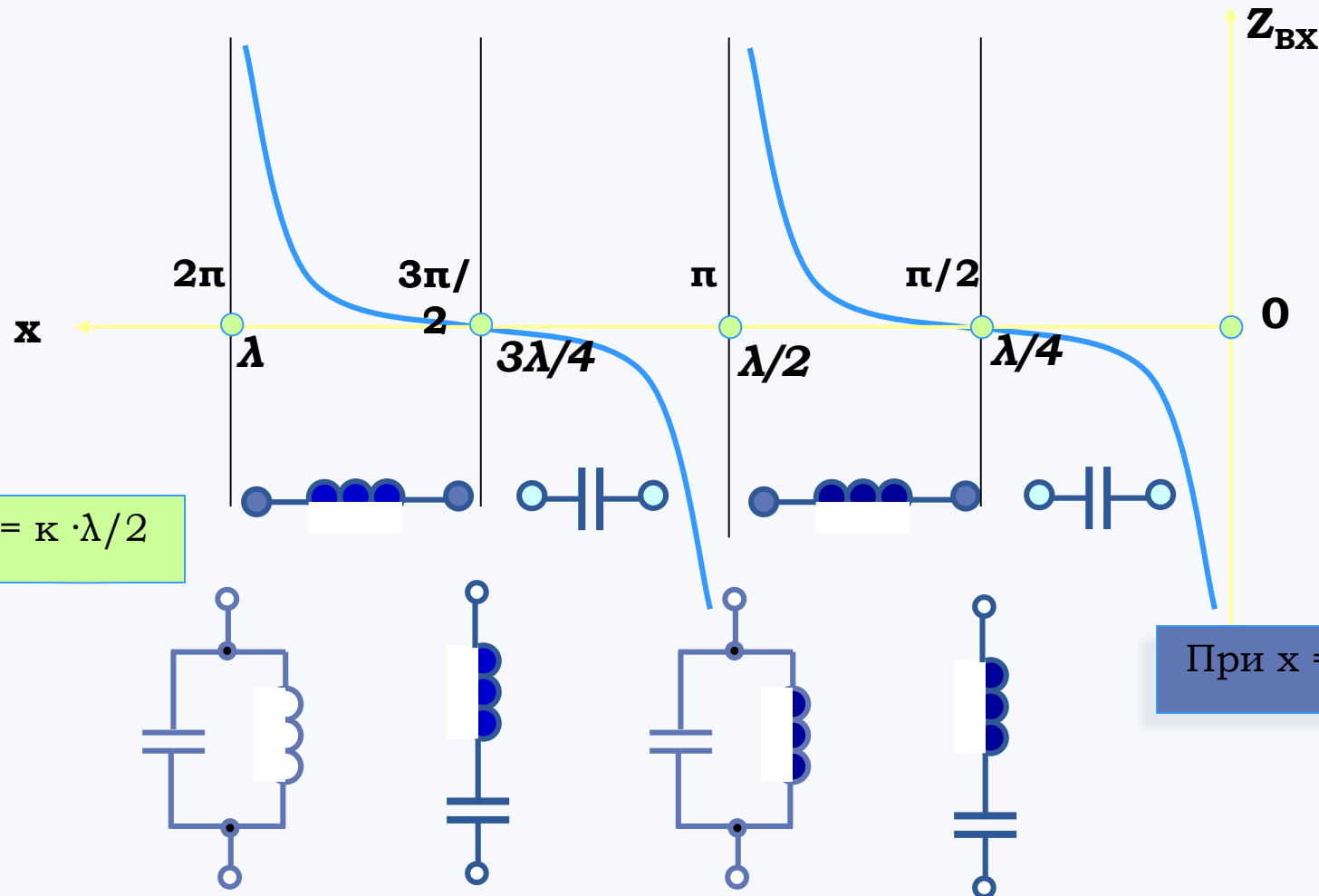
### Узлы напряжения и пучности тока

$$\frac{2\pi \cdot x}{\lambda} = \frac{\pi}{2}, \frac{3\pi}{2}, \dots$$

В режиме холостого хода входное сопротивление линии принимает вид

$$\dot{Z}_{BX} = \dot{Z}_{BX\,XX} = -jZ_{BX}\operatorname{ctg}(\beta x) = jZ_{BX}\operatorname{ctg}\left(\frac{2\pi}{\lambda}x\right) = jX_{XX}$$

Линия представляет собой двухполюсник с бесконечным числом резонансов



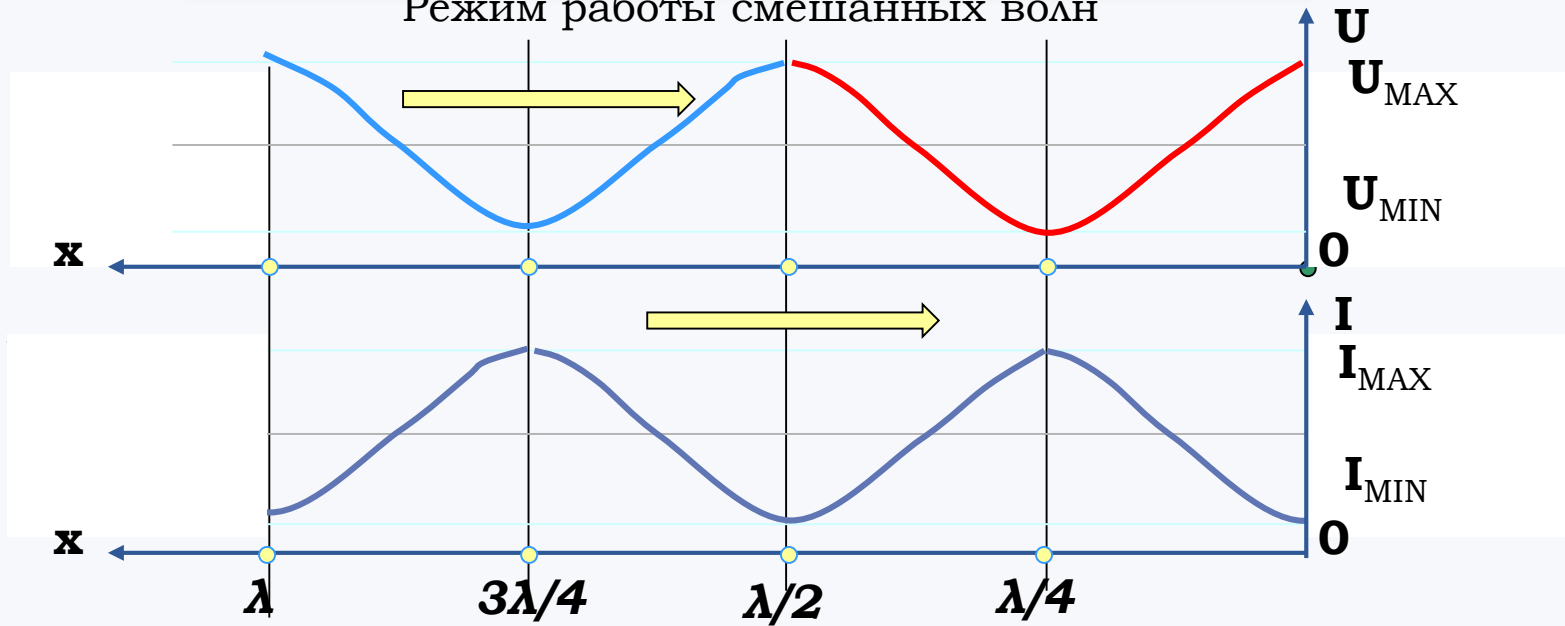


## Режим работы на несогласованную нагрузку $Z_H \neq Z_B$

$$\dot{U}(x) = \dot{U}_2 \left[ \cos \frac{2\pi}{\lambda} x + j \frac{\dot{Z}_B}{\dot{Z}_H} \sin \frac{2\pi}{\lambda} x \right]$$

$$\dot{I}(x) = \dot{U}_2 \left[ \frac{1}{\dot{Z}_H} \cos \frac{2\pi}{\lambda} x + j \frac{1}{\dot{Z}_B} \sin \frac{2\pi}{\lambda} x \right]$$

Режим работы смешанных волн



$$k_{BB} = \left| \frac{U_{\min}}{U_{\max}} \right| = \left| \frac{U_{\text{ПР}} - U_{\text{ОБР}}}{U_{\text{ПР}} + U_{\text{ОБР}}} \right| = \left| \frac{I_{\min}}{I_{\max}} \right|$$

$$0 \leq k_{BB} \leq 1$$

Количественная степень согласования линии с нагрузкой